

К.М.Мурадян

ГЕОХИМИЧЕСКИЕ ОСОБЕННОСТИ ПОРОД СРЕДНИЙСКИХ РУДОНОСНЫХ ВУЛКАНОГЕННЫХ КОМПЛЕКСОВ ШАМШАДИНСКОГО РУДНОГО РАЙОНА АРМЯНСКОЙ ССР

В проблеме изучения рудоносности вулканогенных (и интрузивных) формаций, комплексов и фаций островных дуг кimmerийского и альпийского этапов Малого Кавказа вопросы геохимии являются менее разработанными и представляют собой первоочередную актуальную задачу. Частем изучения геохимических особенностей геологических, магматических формаций, применяя методы математической статистики и теории вероятности в целом, могут быть: выработаны критерии о связи с ними процессов рудообразования; определены данные об источниках рудного вещества; оценены закономерности коррелятивного распределения элементов в различных комплексах и фациях пород; выявлены геохимическая и металлогеническая специализации в процессе эволюции первичных магматично-рудно-метасоматических систем - зависимости от типов очагов и извержений вулканов в ходе направленной дифференциации или линеации исходных магм и т.д. Если в области исследования интрузивных пород Армянской ССР и Малого Кавказа в целом, они были начаты в разных этапах (С.И.Баласанин, Б.М.Меликsetян, Г.А.Казарян, Г.М.Мирчян, Р.Л.Мелконян, В.О.Пароникян, Г.В.Мустафаев и др.), то в вулканогенных комплексах, фациях они были детально разработаны в последние годы Г.А.Казаряном, В.О.Пароникяном, Л.В.Оганесяном, А.И.Карапетяном, А.Х.Мнацаканяном, Р.Т.Джрабашяном, К.М.Мурадяном и др.

Первые попытки в этом направлении были сделаны автором /1/ в 1966 г., изучившим геохимические и акцессорно-минералого-геохимические особенности среднеэоценовых пород и установившим на примере Базумского рудного района Армянской ССР обеднение рудогенными элементами ( $Cu$ ,  $Zn$ ,  $Pb$ ,  $Ag$ ) продуктив-

ных на колчеданное оруденение дифференцированных вулканогенных комплексов. В Алавердском рудном районе детальные исследования (Р.Л.Малконян, Г.Г.Мирзоян и др.) кислых интрузивных и вулканогенных формаций, комплексов и фаций, при эволюции магматических очагов ( $J_2$  и  $J\text{-К}$ , этапов) также привели к выводу об "отсутствии" геохимической специализации, обеднение одних - медью, цинком и обогащение других - свинцом, рудогенным элементами, продуктивных на медноколчеданное, колчеданно-барито-полиметаллическое оруденение, по сравнению с основными и средними их разновидностями.

Материалом для изучения геохимических особенностей пород среднеюрских вулканогенных комплексов и фаций Шамшадинского рудного района послужили результаты количественных спектральных анализов пород из фаций и комплексов отдельных рудных полей. При этом нами ставились задачи проанализировать изменение концентраций Cu, Zn, Pb, Ag, Ni, Co в дифференцированных (см. табл. I) вулканогенных и интрузивных породах/от Б-АБ-А до РД-Р, Г-ЛГ/ с целью выявления поведения рудообразующих элементов в процессе ретроспективной гомодромной эволюции вулканализма (при смене метамагматической сульфуризации толеитовых пород к известково-щелочной серии) рассматриваемого рудного района. Для выяснения характера распределения элементов-примесей в породах и минералах отдельных фаций и комплексов, и для сравнения вулканогенных и интрузивных комплексов, было использовано 600 анализов коренных пород (точечных и площадных проб) и 115 анализов акцессорных, породообразующих и рудных минералов, а также основной массы. Результаты анализов пород и минералов сравнивались с кларками этих элементов в соответствующих типах пород по А.П.Виноградову (табл. I).

В настоящее время при металлогенических исследованиях выдвигается на передний план определение местного геохимического фона для выявления и сопоставления специализированных потенциально рудоносных магматических комплексов. С этой целью нами с помощью обработки геохимического материала вероятностно-статистическими математическими методами был высчитан местный геохимический фон (кларк) наиболее характерных для металлогении исследуемого района эле-

Таблица I

Оценки параметров распределения основных металлических элементов в породах мезоводородных-среднегорских вулканогенных и интрузивных комплексов и фаций Чамадинского рудного района.

№ пп	Наименование комплексов пород и фаций	Ин- декс	М е д ь			Ц и н к		
			и	$\chi_{\phi}$	$\varepsilon$	и	$\chi_{\phi}$	$\varepsilon$
I	Риодазит-риолитовый (РД-Р)	I 70	$\frac{8 \cdot 10^{-3}}{2 \cdot 10^{-3}}$	1,45	69	$\frac{2 \cdot 8 \cdot 10^{-3}}{6 \cdot 10^{-3}}$	1,41	
	Поверхностная фация (II)	I-I 20	$\frac{7 \cdot 7 \cdot 10^{-3}}{2 \cdot 10^{-3}}$	1,51	19	$\frac{2 \cdot 8 \cdot 10^{-3}}{6 \cdot 10^{-3}}$	1,38	
	Жерловая фация (III)	I-2 20	$\frac{7 \cdot 5 \cdot 10^{-3}}{2 \cdot 10^{-3}}$	1,26	20	$\frac{2 \cdot 8 \cdot 10^{-3}}{6 \cdot 10^{-3}}$	1,37	
	Субвулканическая фация (С)	I-3 30	$\frac{8 \cdot 2 \cdot 10^{-3}}{2 \cdot 10^{-3}}$	1,36	30	$\frac{2 \cdot 8 \cdot 10^{-3}}{6 \cdot 10^{-3}}$	1,48	
I.1	Гидротермально-изме- ненные риодазит-риоли- товые породы:	II 39	$\frac{6 \cdot 8 \cdot 10^{-3}}{2 \cdot 10^{-3}}$	1,26	40	$\frac{2 \cdot 7 \cdot 10^{-3}}{6 \cdot 10^{-3}}$	1,85	
	Поверхностная, промежу- точная фация	II-I 24	$\frac{5 \cdot 5 \cdot 10^{-3}}{2 \cdot 10^{-3}}$	1,38	24	$\frac{2 \cdot 2 \cdot 10^{-3}}{6 \cdot 10^{-3}}$	1,39	
	Жерловая фация	II-2 15	$\frac{7 \cdot 2 \cdot 10^{-3}}{2 \cdot 10^{-3}}$	1,23	16	$\frac{2 \cdot 9 \cdot 10^{-3}}{6 \cdot 10^{-3}}$	2,46	
2	Базальт, андезитоба- зальт, андезитовый (Б-АБ-А)	III 48	$\frac{15 \cdot 10^{-3}}{5 \cdot 5 \cdot 10^{-3}}$	1,85	47	$\frac{4 \cdot 3 \cdot 10^{-3}}{7 \cdot 2 \cdot 10^{-3}}$	1,49	
	Поверхностная фация (II)	III-I 14	$\frac{12 \cdot 10^{-3}}{5 \cdot 5 \cdot 10^{-3}}$	1,95	14	$\frac{4 \cdot 3 \cdot 10^{-3}}{7 \cdot 2 \cdot 10^{-3}}$	1,66	
	Жерловая фация (III)	III-2 18	$\frac{15 \cdot 10^{-3}}{5 \cdot 5 \cdot 10^{-3}}$	1,77	17	$\frac{5 \cdot 2 \cdot 10^{-3}}{7 \cdot 2 \cdot 10^{-3}}$	1,29	
	Субвулканическая фация (С)	III-3 16	$\frac{12 \cdot 10^{-3}}{5 \cdot 5 \cdot 10^{-3}}$	2,20	16	$\frac{3 \cdot 7 \cdot 10^{-3}}{7 \cdot 2 \cdot 10^{-3}}$	1,24	
3.	Гранит-лейкогранитовый (Г-ЛГ)	IV 19	$\frac{12 \cdot 10^{-3}}{2 \cdot 10^{-3}}$	2,20	19	$\frac{3 \cdot 10^{-3}}{6 \cdot 10^{-3}}$	1,51	

Продолжение таблицы I

Свинец			Серебро			Никель			Кобальт		
N	$\chi\Phi$	$\varepsilon$	N	$\chi\Phi$	$\varepsilon$	N	$\chi\Phi$	$\varepsilon$	N	$\chi\Phi$	$\varepsilon$
70	$1.6 \cdot 10^{-3}$ $2 \cdot 10^{-3}$	I,57	70	$4 \cdot 10^{-6}$ $5 \cdot 10^{-6}$	I,48	68	$23 \cdot 10^{-4}$ $8 \cdot 10^{-4}$	I,60	68	$2.5 \cdot 10^{-4}$ $5 \cdot 10^{-4}$	I,67
20	$1.9 \cdot 10^{-3}$ $2 \cdot 10^{-3}$	I,51	20	$4 \cdot 10^{-6}$ $5 \cdot 10^{-6}$	I,52	20	$24 \cdot 10^{-4}$ $8 \cdot 10^{-4}$	I,60	20	$2.3 \cdot 10^{-4}$ $5 \cdot 10^{-4}$	I,46
20	$1.5 \cdot 10^{-3}$ $2 \cdot 10^{-3}$	I,47	20	$4 \cdot 10^{-6}$ $5 \cdot 10^{-6}$	I,49	18	$25 \cdot 10^{-4}$ $8 \cdot 10^{-4}$	I,59	18	$2.6 \cdot 10^{-4}$ $5 \cdot 10^{-4}$	I,86
30	$1.8 \cdot 10^{-3}$ $2 \cdot 10^{-3}$	I,58	30	$4 \cdot 10^{-6}$ $5 \cdot 10^{-6}$	I,43	30	$22 \cdot 10^{-4}$ $8 \cdot 10^{-4}$	I,65	30	$2.3 \cdot 10^{-4}$ $5 \cdot 10^{-4}$	I,67
41	$1.5 \cdot 10^{-3}$ $2 \cdot 10^{-3}$	I,50	43	$4 \cdot 10^{-6}$ $5 \cdot 10^{-6}$	2,95	43	$16 \cdot 10^{-4}$ $8 \cdot 10^{-4}$	I,85	38	$1.4 \cdot 10^{-4}$ $5 \cdot 10^{-4}$	I,65
26	$1.5 \cdot 10^{-3}$ $2 \cdot 10^{-3}$	I,45	27	$4 \cdot 10^{-6}$ $5 \cdot 10^{-6}$	2,82	27	$16 \cdot 10^{-4}$ $8 \cdot 10^{-4}$	I,94	22	$1.4 \cdot 10^{-4}$ $5 \cdot 10^{-4}$	I,73
15	$1.6 \cdot 10^{-3}$ $2 \cdot 10^{-3}$	I,58	16	$4 \cdot 10^{-6}$ $5 \cdot 10^{-6}$	3,28	16	$15 \cdot 10^{-4}$ $8 \cdot 10^{-4}$	I,71	16	$1.3 \cdot 10^{-4}$ $5 \cdot 10^{-4}$	I,51
48	$1.9 \cdot 10^{-3}$ $1.5 \cdot 10^{-3}$	I,88	48	$7 \cdot 10^{-6}$ $7 \cdot 10^{-6}$	I,68	49	$8.0 \cdot 10^{-3}$ $5.5 \cdot 10^{-3}$	2,03	49	$0.8 \cdot 10^{-3}$ $1 \cdot 10^{-3}$	3,38
15	$1.8 \cdot 10^{-3}$ $1.5 \cdot 10^{-3}$	2,02	15	$6 \cdot 10^{-6}$ $7 \cdot 10^{-6}$	I,30	15	$7.4 \cdot 10^{-3}$ $5.5 \cdot 10^{-3}$	2,22	15	$0.7 \cdot 10^{-3}$ $1 \cdot 10^{-3}$	2,4
18	$2.2 \cdot 10^{-3}$ $1.5 \cdot 10^{-3}$	2,14	18	$8 \cdot 10^{-6}$ $7 \cdot 10^{-6}$	I,94	18	$8.3 \cdot 10^{-3}$ $5.5 \cdot 10^{-3}$	I,86	18	$1.1 \cdot 10^{-3}$ $1 \cdot 10^{-3}$	2,5
15	$1.7 \cdot 10^{-3}$ $1.5 \cdot 10^{-3}$	I,39	15	$8 \cdot 10^{-6}$ $7 \cdot 10^{-6}$	I,88	16	$8.4 \cdot 10^{-3}$ $5.5 \cdot 10^{-3}$	I,87	16	$0.7 \cdot 10^{-3}$ $1 \cdot 10^{-3}$	3,6
19	$1.6 \cdot 10^{-3}$ $2 \cdot 10^{-3}$	I,43	18	$6 \cdot 10^{-6}$ $5 \cdot 10^{-6}$	I,19	16	$33 \cdot 10^{-4}$ $8 \cdot 10^{-4}$	I,94	19	$2.4 \cdot 10^{-4}$ $5 \cdot 10^{-4}$	I,68

N - Количество проб, по которым определялась величина геохимического фона;  $\chi\Phi(Mk)$  - Местное значение геохимического фона (в числителе кларк) в весовых %;  $\varepsilon(s)$  - Стандартный множитель (стандартное или среднеквадратическое отклонение).

Примечание - кларки приведены для щелочных, средних и основных пород по данным А.П.Виноградова (1962).

ментов-индикаторов: меди, цинка, свинца, серебра, никеля, кобальта и др.

Определение местного геохимического фона химических элементов в различных горных породах является одной из основных задач при металлогенических исследованиях, так как каждый анализ горной породы характеризуется случайным значением содержаний в нем тех или иных элементов. При объективной оценке местного фона методом математической статистики становится возможным выявление геохимических особенностей вулканогенных пород (комплексов, фаций) исследуемого района. Обработка полученных аналитических данных методами математической статистики дает также возможность определить вероятностный закон их распределения, позволяет установить наиболее вероятное значение измеряемых величин ( $\bar{x}_f$ ,  $\bar{t}_f$ ) и пределы их колебаний  $s$ ,  $\varepsilon$  (стандартное отклонение при нормальном распределении, стандартный множитель при логнормальном распределении).

Из вышеизложенного вытекает, что применение математических методов обработки геохимических информаций, значительно повышает достоверность полученных результатов и позволяет осуществлять объективную их интерпретацию с петрографическими и петрохимическими данными.

Ниже рассматриваются геохимические особенности пород, слагающих магматические (вулканогенные, вулканогенно-интрузивные) формации, комплексы и фации Шамшадинского рудного района (табл. I).

Содержание элементов, как было констатировано, в пробах из коренных относительно свежих и гидротермально измененных породах определялось методом количественного спектрального анализа. Исходя из металлогенической специализации исследуемого рудного района, нам был определен местный геохимический фон; рассмотрены оценки параметров, закономерности распределения основных металлических элементов (меди, цинка, свинца, серебра, никеля и кобальта) в вышеуказанных породах (см. табл. I). Отдельные фации и комплексы пород охарактеризованы фоновым содержанием и стандартным отклонением отмеченных элементов. Последний показатель имеет важный геохимический смысл, т.к. характеризует степень неравномерности распределения элемента в данной среде. В настоящее время на примере палеозойской колчеданоносной провинции Урала, Рудного Алтая установлено, что степень неравномер-

ности распределения элементов в породах возрастает под воздействием процессов анатексиса и метамагматической сульфуризации. (Овчинников, Баранов, Еабин, Гладких и др.). Степень неравномерности распределения элементов при этом является также показателем условий формирования пород. В частности, в хорошо дифференцированных магматических комплексах отдельные элементы распределены более неравномерно, чем в слабо дифференцированных породах (см. табл. I).

Наблюдаемые средние (фоновые) содержания элементов в породах и степень неравномерности их распределения (величина стандартного отклонения) являются величинами интегральными, т.е. отражают конечный результат формирования пород и дальнейших их изменений, обусловленных различными эндогенными факторами и в том числе процессами рудообразования.

#### Методика обработки результатов наблюдений

Содержание любого химического элемента в породе может быть рассмотрено как значение случайной величины, т.к. до анализа пробы предугадать результат невозможно. В лучшем случае можно на числовой оси указать некоторый интервал, в пределах которого окажется содержание данного элемента в исследуемой пробе.

Многочисленные исследования последних лет показали, что содержание элементов в горных породах могут быть аппроксимированы нормальным или логарифмически нормальным (логнормальным) функциями распределения случайных величин (Н.К.Разумовский, Д.А.Родионов, В.Н.Бондаренко, Р.Шторм и др.). Различие между двумя отмеченными функциями распределений заключается только в том, что в первом случае нормальным распределением аппроксимируется натуральное значение изучаемого свойства (в данном случае содержание какого-либо элемента в определенных горных породах), а во втором случае этой же функцией удовлетворительно описываются логарифмы значений натуральных величин. Причем логнормальное распределение является более общим.

Нормальное (логнормальное) распределение определяется двумя параметрами:  $\alpha$  -математическим ожиданием и  $\sigma$  - среднеквадратическим отклонением. Поскольку значения  $\alpha$  и  $\sigma$  в большинстве случаев не могут быть вычислены без погрешностей, то на практике ограничиваются вычислением этих оценок-параметров, какими соответственно являются  $\bar{x}$  (или  $\tilde{x}$ ) - среднеарифметичес-

кое (среднегеометрическое) значение изучаемых величин и  $S$  (или  $\varepsilon$ ) - стандартное (или среднее квадратическое) отклонение (стандартный множитель) эмпирического ряда распределения.  $s^2$  - дисперсия.

Учитывая, что распределение элементов лучше аппроксимируется логнормальным законом (что подтверждается критерием согласия  $\chi^2$  Пирсона, при уровне значимости  $\alpha = 0,05$ ) все расчеты велись в логарифмах с последующим антилогарифмированием полученных значений  $\lg \bar{x}$  и  $\lg S$ . В результате были получены среднегеометрические (фоновые  $\bar{x}_\phi$ ) значения содержания элементов в пробах  $\bar{x} = \bar{x}_\phi$  и величины стандартных множителей  $\varepsilon$ .

Нами придавалось во внимание правило трех сигм, которое гласит, что практически все значения (точнее 99,73%) нормально распределенной случайной величины должны укладываться в интервале  $\bar{x} \pm 3S$  (для логнормального распределения в интервале  $\bar{x} \cdot \varepsilon^{\pm 3}$ ).

В случае несоблюдения этого правила из выборок были последовательно исключены выходящие за пределы указанного интервала значения и заново определены  $\bar{x}_\phi$  и  $\varepsilon$ . Это продолжалось до тех пор, пока не было достигнуто выполнение правила трех сигм. Поскольку содержание элемента в пробе является случайной величиной, то сценки параметров эмпирического распределения ( $\bar{x}_\phi$  и  $\varepsilon$ ) тоже являются величинами случайными. Следовательно, сравнение соответствующих оценок, полученных для различных выборок может быть осуществлено методами проверки статистических гипотез (Е.С. Вентцель, Н.В. Смирнов, И.В. Дунин-Барковский, Р.Л. Миллер, Дж.С. Кан, Р.Шторм и др.).

Для сравнения дисперсий нами использован критерий Фишера

$$(P): P = \frac{S_1^2}{S_2^2}$$

где  $S_1^2$  - больший из двух ( $S_1^2, S_2^2$ ) сравниемых значений оценок дисперсий. В случае подтверждения однородности (равенства) сравниваемых дисперсий проверка гипотезы о равенстве средних содержаний (фоновых значений) элементов осуществлялась при помощи критерия Стьюдента ( $t$ ):

$$t = \frac{\bar{x}_1 - \bar{x}_2}{\sqrt{\frac{S_1^2}{N_1} + \frac{S_2^2}{N_2}}}$$

где:  $\bar{x}_1$  и  $\bar{x}_2$  сравниваемые фоновые значения элементов;  
 $N_1$  и  $N_2$  - объем сравниваемых выборок. В тех случаях, когда гипотеза о равенстве дисперсии при помощи критерия Фишера опровергалась, для сравнения фоновых значений был использован критерий, предложенный А.Д.Родионовым. В вышеприведенных выражениях:  $\bar{x}_1 = \lg \tilde{x}_1$ ;  $\bar{x}_2 = \lg \tilde{x}_2$ ;  $S_1^2 = \lg S_1^2$ ;  $S_2^2 = \lg S_2^2$ . Полученные наблюдаемые значения  $t_H$  и  $F_H$  сравнивались с их соответствующими табличными значениями  $t_T$  и  $F_T$  (Н.В.Смирнов, И.В.Дунин-Барковский, Митрапольский, Р.Шторм и др.) при уровне значимости  $\alpha = 0,05$ .

Таким образом осуществлялась проверка нулевых гипотез:

$$H_0 : S_1^2 = S_2^2$$

$$H_0 : \chi_{\Phi}^{(1)} = \chi_{\Phi}^{(2)}$$

Нулевая гипотеза принималась, если  $t_H < t_T$  (при сравнении фоновых значений) или  $F_H < F_T$  (при сравнении дисперсий). В противном случае нулевая гипотеза опровергалась. Функции распределения элемента в сравниваемых выборках применялись разными в случае совместного подтверждения гипотез о равенстве дисперсий и средних значений.

#### Закономерности распределения элементов

Ниже рассмотрим геохимическое поведение отдельных металлических элементов:

М е д ь. Результаты анализа данных таблицы I (рис. I,2) позволяют заключить, что содержание (местный кларк) меди во всех комплексах пород значительно превышает кларковые значения, причем наиболее высокими концентрациями отличаются породы риодазит-риолитового комплекса и их гиповулканические-гипабиссальные интрузивные разности (гранит-лейкограниты, таблица I). Заметных аномальных значений показателя степени неравномерности распределения меди в различных комплексах пород и фациях не наблюдается. Чувствительность спектрального анализа на медь составляет 0,0001%. Наличие меди установлено почти во всех пробах. Примесь меди характерна для всех породообразующих и акцессорных минералов рассматриваемых комплексов и фаций. О формах нахождения этого элемента мы можем судить по дан-

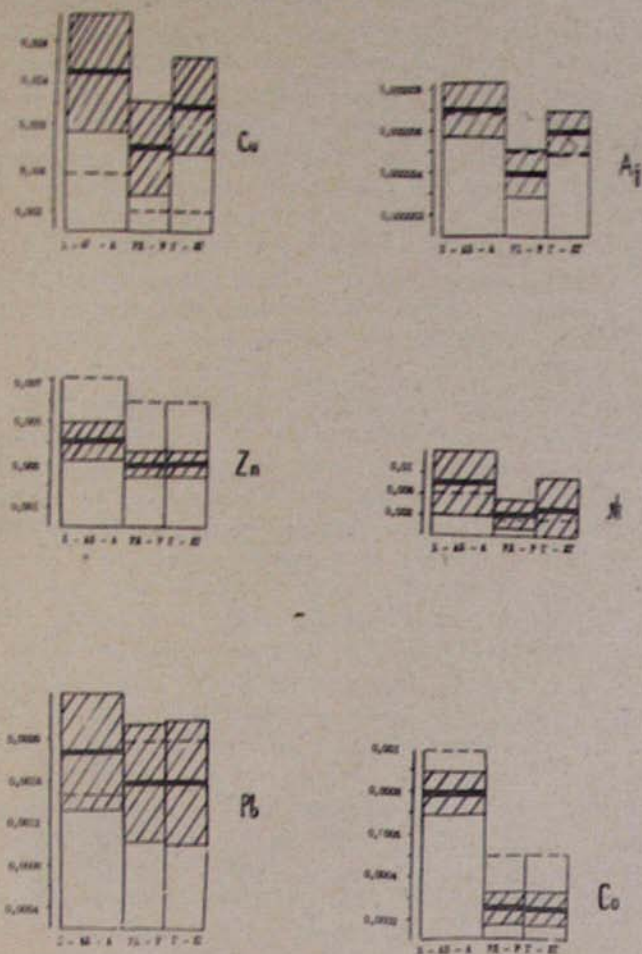


Рис. I. Распределение рудных элементов (и некоторых элементов группы железа) в среднеуральских вулканогенных (Б-АБ-А - РД-Р) и интрузивных (Л-Л') комплексах. Условные обозначения: сплошной линией (извилстой на рис. 2) показаны средние содержания ("местный klarк"); пунктирной линией показаны величины klarков элементов для кислых, средних и основных пород (по А.П.Виноградову, 1962). Штриховкой указаны доверительные границы.

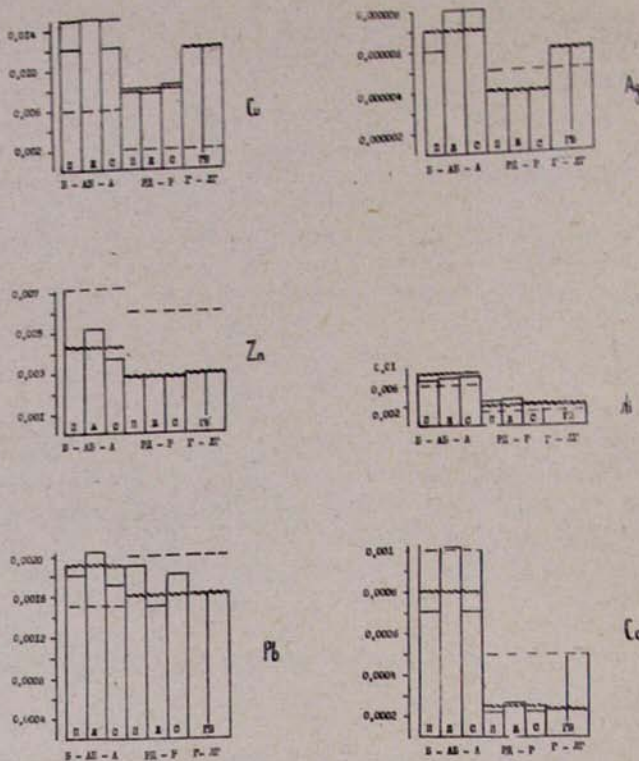


Рис. 2. Распределение рудных элементов (и некоторых элементов группы железа) в отдельных фациях (покровной - II, керновой - I, субвуликанической - С, гиповулканитической - ГВ, табл. I) пород оранжево-красных вулканиогенников (B-AB-A - РД-Р) и интрузивных (T-T') комплексов. Условные обозначения те же, что на рис. 1.

ним изучения искусственных проб и количественных спектральных анализов ряда акцессорных и породообразующих минералов. В искусственных пробах медь присутствует в виде халькопирита и самородной меди. Главная же масса меди в породах риодазит-риолитового комплекса содержится: в титаномагнетитах (магнетитах) 0,019-0,024%, в интрапеллурических кварцах - 0,0001%, в плагиоклазах - 0,001% и в основной массе - 0,001% (поверхностная фация); в титаномагнетитах (магнетитах) - 0,01-0,065%, в кварцах 0,0001-0,01%, в плагиоклазах 0,0003-0,01% и в основной массе 0,0002-0,01% (жерловая фация); в титаномагнетитах (магнетитах) 0,01-0,07%, в кварцах 0,0006-0,0009%, в плагиоклазах 0,0002-0,0004% и в основной массе 0,0004-0,0006% (субвуликаническая фация); а также в виде примесей титаномагнетитах-магнетитах 0,021-0,35%, в кварцах 0,0001-0,0011% гиповулканической-гипабиссальной фации. Такие закономерности распределения содержаний меди (от более ранних минералов к более поздним), в магматическом очаге, породили последовательно дифференцированные колчеданоносные вулканогенные комплексы ( $B-AB-A=15 \cdot 10^{-3}$  до  $RД-P=8 \cdot 10^{-3}$ ) свидетельствуют о том, что часть акцессорной меди была захвачена еще в магматическую стадию и, следовательно, исходная мagma (известково-щелочная серия с толеитовой тенденцией), из которой образовались породы отдельных фаций рассматриваемых комплексов, была обогащена медью (табл. I).

Цинк. Местный геохимический фон цинка почти во всех породах примерно в два раза ниже клярковых значений (по А.В. Виноградову, для кислых пород - 0,006%) и составляет 0,0028% (РД, Р), 0,0043% (B-AB-A). Распределение этого элемента характеризуется высокой и очень близкой для различных фациальных типов пород равномерностью (табл. I, рис. I, 2). Только жерловая фация гидротермально измененных риодазит-риолитовых пород отличается сравнительно более высокой степенью неравномерности распределения цинка. Геохимическая характеристика этого элемента тесно связана с поведением  $Mg^{2+}$ ,  $Fe^{2+}$ , что приводит к наложению цинка в минералах этих элементов. Например, в титаномагнетите (магнетите) содержится 0,042% (поверхностная фация), 0,1-0,32% (жерловая фация), 0,01-0,075% (субвуликаническая фация) и 0,018-0,024% (гиповулканическая-гипабиссальная). А в кварцах, плагиоклазах и основной массе содержание цинка 0,005%

(почти во всех фациальных разновидностях; только в гипабиссальных фациях - 0,008% (в кварцах). Результаты приведенных анализов, а также наличие акцессорного сфалерита, самородного цинка, говорят о наличии цинка в породах риодацито-риолитового комплекса еще в родоначальную магматическую стадию.

Свинец и серебро. Фоновые значения этих элементов почти совпадают с кларками (см. табл. I). Распределены эти элементы достаточно равномерно во всех породах. Небольшим превышением степени неравномерности распределения серебра отличаются гидротермально измененные риодацито-риолитовые породы.

Местный кларк свинца в риодацито-риолитовых образованиях составляет 0,0016%, в поверхностной, жерловой, субвуликанической фациях соответственно: 0,0019%, 0,0015%, 0,0018%, что соответствует кларку этого элемента - 0,002% для кислых пород.

Наличие свинца установлено в 90% всех проанализированных акцессорных и пордообразующих минералов. Свинец присутствует в виде акцессорного галенита и самородного свинца. Свинец установлен в титаномагнетите (магнетите) риодацито-риолитового комплекса соответственно в фациях: поверхностной - 0,0018%, жерловой - 0,0013-0,0042%, субвуликанической - 0,0024-0,0075%. Сравнительно небольшая концентрация свинца обнаружена в интрапеллическом кварце: 0,0006-0,001% (жерловая, субвуликаническая фация), в основной массе: 0,0006-0,0012% (жерловая фация), 0,0006-0,0009% (субвуликаническая фация). В гипабиссальном-интрузивном комплексе свинец установлен в титаномагнетите-магнетите: 0,001-0,002%.

Содержание серебра в породах различных фаций риодацито-риолитового комплекса в подавляющем большинстве случаев находится ниже и в пределах чувствительности анализа. В редких случаях оно превышает этот предел. В титаномагнетите-магнетите риодацито-риолитового комплекса установлено серебро в  $56 \cdot 10^{-7}$  -  $75 \cdot 10^{-7}\%$  (поверхностная-субвуликаническая фация). В породах базальт, андезито-базальт, андезитового комплекса содержится: свинца  $1,9 \cdot 10^{-8}\%$ , серебра  $7 \cdot 10^{-6}\%$ .

Из вышеприведенного вытекает, что геохимическая специализация пород различных фаций риодацито-риолитового и др. комплексов выражается в существовании металлических элементов (медь, цинк, свинец, серебро) в виде собственных акцессорных минералов и в

присутствии их в виде примесей в первичных акцессорных и породообразующих минералах, что свидетельствует о богатстве исходной ("родоначальной") последовательно дифференцированной магмы этими элементами /3/.

**Никель.** Из анализа вышеприведенной таблицы I и рис. I, 2 вытекает, что во всех породах, кроме пород базальт, андезито-базальт-андезитового комплекса, содержание никеля заметно выше кларковых. Породы базальт, андезито-базальт-андезитового комплекса содержат никель в количествах, сопоставимых (или незначительно превышающих) с кларковыми значениями. Этот элемент распределен во всех породах достаточно равномерно.

**Кобальт.** В отличие от никеля содержание кобальта в 2-3 раза ниже по сравнению с соответствующими кларковыми значениями (см. табл. I и рис. I, 2). Здесь тоже выделяется базальт, андезито-базальт-андезитовый комплекс с близкими к кларковым значениями содержания элемента. Причем этот комплекс пород характеризуется также в некоторой степени повышенными значениями показатели неравномерности распределения кобальта.

#### Сравнительные характеристики распределения элементов

Представляет определенный интерес сопоставление особенностей распределения рассмотренных выше элементов в породах Шамшадинского рудного района (см. табл. I и рис. I, 2). Породы рудного района характеризуются резко повышенным значением фона меди и никеля. Обратная тенденция наблюдается для цинка и кобальта. В гидротермально измененных породах четких тенденций не обнаруживается. Здесь происходит заметное (1,5-2 раза) снижение содержания никеля, кобальта и лишь незначительное уменьшение содержания меди, отчасти свинца. При этом заметно выраженных изменений в степени неравномерности распределения этих элементов не наблюдается, за исключением никеля, который проявляет слабо заметную тенденцию к увеличению степени неравномерности распределения в гидротермально измененных разностях пород.

Содержание цинка и серебра фактически одинаково как в неизмененных, так и гидротермально измененных породах рассматриваемых.

емого рудного района, но степень неравномерности распределения этих элементов, естественно, больше в гидротермально измененных разностях пород.

#### Выявление закономерностей распределения элементов методом проверки статистических гипотез.

Выше закономерности распределения элементов рассматривались путем простого сопоставления параметров распределения и кларковых значений. Поскольку полученные оценки параметров ( $\chi_F$  и  $\varepsilon$ ), как и первичные фактографические данные, на основе которых они выведены, являются случайными величинами, то их сравнение в различных породах (комплексов и фаций) было осуществлено методами проверки статистических гипотез. Такая проверка позволяет ответить на вопрос о том, насколько существенные наблюдаемые различия значений параметров распределения, носят ли они закономерный характер или же являются случайными, обусловленными природными колебаниями (флуктуациями) распределения элементов в изучаемой среде и погрешностями применяемых методов изучения данной среды.

Результаты сравнения  $\chi_F$  и  $\varepsilon$  методом проверки статистических гипотез при помощи  $t$  критерия Стьюдента и  $F$  критерия Фишера не приведены. В связи с этим здесь коротко остановимся на тех выводах, которые можно сделать на основе этого сравнения.

Сравнение измененных пород риодазит-риолитового комплекса со своими неизмененными аналогами показывает, что фоновые значения только никеля и кобальта заметно повышены в измененных разностях пород. Вместе с тем распределение меди, цинка и никеля в измененных породах характеризуется значительной неравномерностью, а серебро более неравномерно распределено в измененных разновидностях пород. Степень неравномерности распределения свинца и кобальта одинаковы как в неизмененных, так и в гидротермально измененных породах риодазито-риолитового комплекса (табл. I).

Статистическое сравнение оценок параметров распределения элементов в различных фациях риодазито-риолитового комплекса показывает достаточную их близость. Заметные, не случайные различия отмечаются только для меди, свинца и кобальта. Эти отличия выражаются в следующем. Фоновое значение свинца и степень неравномерности распределения меди в поверхностной фации значительно выше

по сравнению с жерловой, а холмист распределен более неравномерно в жерловой фации по сравнению с поверхностной фацией (см. табл. I ).

Покровные и жерловые фации гидротермально измененных пород риодицит-риолитового комплекса тоже достаточно близки по geoхимическому спектру рассматриваемых элементов. Различия заключаются только в том, что фоновое значение меди в породах жерловой фации значительно больше по сравнению с фоновым значением этого элемента в породах покровной фации. Медь и цинк более неравномерно распределены в породах поверхностной фации (табл. I , рис. 2 ).

Сравнение распределения элементов в поверхностной, жерловой и субвулканической фациях базальт, андезитобазальт, андезитового комплекса (см. табл. I , рис. 2 ) позволяет установить, что фоновые значения рассмотренных элементов в большинстве случаев не зависят от фации пород. Отличия наблюдаются только для цинка, фоновые значения которого в жерловой фации значительно выше по сравнению с субвулканической фацией.

Более значительные отличия наблюдаются при рассмотрении степени неравномерности распределения элементов. Поверхностная фация базальт, андезитобазальт, андезитового комплекса характеризуется значительно неравномерным распределением цинка по сравнению с жерловой и субвулканической фациями. Последнее характерно также для пород жерловой фации (см. табл. I , рис. 2 ).

Изучение фонового содержания и оценки параметров распределения основных металлических элементов ( Cu , Zn , Fe , Ag , Ni , Co ) в породах среднерусских комплексов и фаций Памятдинского рудного района позволяет сделать следующие выводы:

I . Путем применения методов математической статистики определен местный геохимический фон, что является одной из основных задач при металлогенических и геохимических исследованиях. При этом, применение вероятностно-статистического метода позволило переночную фактографическую-геохимическую информацию представить в компактной форме, что создало возможность использовать эту информацию в комплексе с петрохимическими и минералого-геохимическими данными для обоснования некоторых генетических выводов по прогнозу рудоносности вулканогенной формации, комплексов и фаций. В качестве харак-

теристик, описывавших распределение элементов в породах были приняты фоновые знания ( $\chi_F$ ) и стандартный множитель ( $\varepsilon$  - показатель степени неравномерности распределения элементов). Отличие между двумя соответствующими показателями в различных комплексах пород, устанавливалось при помощи  $t$ -критерия Студента и  $F$ -критерия Фишера, при уровне значимости  $\alpha = 0,05$ .

2. Установлено, что распределение металлических элементов в неизмененных породах и их гидротермально измененных разностях вулканогенных (и интрузивных) комплексах и фациях Шамшадинского рудного района приближенно подчиняется логарифмическому нормальному закону.

3. Определен естественный геохимический фон (местный кларк) металлических элементов: меди, цинка, свинца, серебра, а также некоторых элементов группы железа - никеля, кобальта в комплексах и фациях дифференцированных пород среднеуральской рудноносной вулканогенной формации и вулкано-плутонических ассоциаций, которые соответственно составляют: а/ в базальт, андезитобазальт, андезитовом комплексе: для меди -  $0,02\%$  ( $0,012\%$  - поверхностная фация,  $0,015\%$  - жерловая фация,  $0,012\%$  - субвулканическая фация); для цинка -  $0,004\%$  ( $0,0043\%$  - поверхностная фация,  $0,0052\%$  - жерловая фация,  $0,0037\%$  - субвулканическая фация); для свинца -  $0,002\%$  ( $0,0018\%$  - поверхностная фация,  $0,0022\%$  - жерловая фация,  $0,0017\%$  - субвулканическая фация); для серебра -  $0,00001\%$  ( $0,000006\%$  - поверхностная фация,  $0,000008\%$  - жерловая и субвулканическая фации); для никеля -  $0,01\%$  ( $0,0074\%$  - поверхностная фация,  $0,0083\%$  - жерловая фация,  $0,0084\%$  - субвулканическая фация); для кобальта -  $0,001\%$  ( $0,0007\%$  - поверхностная фация,  $0,0011\%$  - жерловая фация,  $0,0007\%$  - субвулканическая фация); б/ в риодолит-риолитовом комплексе: для меди -  $0,008\%$  (четыре раза превышает кларковые,  $0,0077\%$  - поверхностная фация,  $0,0075\%$  - жерловая фация,  $0,0082\%$  - субвулканическая фация); для цинка -  $0,003\%$  ( $0,0028\%$  - ниже кларковые содержания (в два раза) во всех породах поверхностной, жерловой и субвулканической фации); для свинца -  $0,002\%$  ( $0,0019\%$  - поверхностная фация,

0,0015% - херловая фация, 0,0018% - субвулканическая фация); для серебра -  $\frac{0,00004\%}{0,00005\%}$  (одинаковое близкокларковое содержание во всех фациальных породах); для никеля -  $\frac{0,002\%}{0,001\%}$  (два раза превышает кларковое значение, 0,0024% - поверхностная фация, 0,0025% - херловая фация, 0,0022% - субвулканическая фация); для кобальта -  $\frac{0,0003\%}{0,0005\%}$  (0,00023% - поверхностная фация, 0,00026% - херловая фация, 0,00023% - субвулканическая фация); в/в гиповулканическом-гипабиссальном гранит-лейкогранитовом комплексе: для меди -  $\frac{0,01\%}{0,002\%}$ ; для цинка -  $\frac{0,003\%}{0,006\%}$ ; для свинца -  $\frac{0,002\%}{0,003\%}$ ; для серебра -  $\frac{0,00001\%}{0,00001\%}$ ; для никеля -  $\frac{0,003\%}{0,001\%}$ ; для кобальта -  $\frac{0,0002\%}{0,0005\%}$ .

В ходе эволюции мезозойского-среднеирского магматического процесса от дифференцированных основных-средних к кислым сериям наблюдается имеющееся различительная геохимическая специализация: а/ уменьшается местный геохимический фон меди, цинка; б/ остается неизменным натуральный геохимический фон свинца, серебра; в/ уменьшается также местный геохимический фон никеля и кобальта, но устанавливается общая тенденция превалирования никеля над кобальтом.

4. Наиболее конкретным индикатором геохимической специализации рудоносных вулканогенных комплексов является не только достоверная металлогеническая специализация, но и первичная минеральная специализация, выражаясь наличием акцессорных рудных минералов: пирита, халькопирита, сфалерита, галенита, никита, титаномагнетита, магнетита, самородной меди, цинка, свинца, серебра, железа и др., а также высоким содержанием меди, цинка, свинца, серебра и др. элементов в акцессорных и породообразующих минералах, что свидетельствует о накоплении этих металлических элементов в эволюционировавших остаточных расплавах.

5. Существование рудообразующих элементов в виде собственных акцессорных минералов, повышенное содержание металлических элементов в первичных акцессорных и породообразующих минералах пород материнских вулканогенных (и интрузивного) комплексов и относительно пониженное "отрицательное" и кларковое содержание

этих же элементов в длительно формировавшихся дифференциатах является их специфичной геохимической специализацией. Такая особенность, вероятно, вызвана дифференциацией рудогенерирующей исходной магмы во вторичных магматических камерах верхней части земной коры, с конечными вулканогенными продуктами которой тесно связана во времени и в пространстве колчеданная минерализация.

На основе комплексных петрологических, геохимических и металлогенических данных по мезозойской колчеданоносной провинции Малого Кавказа (Шамшадинский сегмент Сомхето-Карабахской, Кафанской вулканогенно-металлогенической зоны или Понтийско-Малокавказско - Эльбурсской островной дуги) подтверждаются основные положения гипотезы Д.С.Коржинского о метамагматической сульфуризации при одновременной дебазификации родоначальных толеитовых магм. Предполагается, что рудоносные родоначальные толеитовые (известковые) известково-щелочные расплавы на глубине взаимодействуют с серосодержащими трансмагматическими и дегидратирующими метеорными флюидами (образовавшимися) путем фракционного плавления континентальной и океанической коры с морскими осадками, затянутыми в Малокавказскую зону субдукции. Инючерноморский-Рионо-Куринский-Инокаспийский глубоководный желоб Вадати - Заварцкого - Беньофа /2/. Вследствие этого происходит анатексис и экстракция рудообразующих металлов (меди, цинка, свинца, серебра, молибдена и др., а также элементы группы железа: никель, кобальт, хром, титан, ванадий, марганец, скандий и др.) в процессе глубинной эволюции магматических расплавов Малокавказского мезозойского вулканализма (и плутонизма) островных дуг с образованием последовательно дифференцированных вулканогенных комплексов толеитовых → известково-щелочных серий и колчеданных (сернико-медиоколчеданных, колчеданно-барито-полиметаллических с серебром и золотом), жадеиторудных и других месторождений.

## ЛИТЕРАТУРА

1. Мурадян К.М. Геохимические особенности пород субвулканического комплекса Базумского рудного района Армянской ССР. Изв. АН АрмССР, Науки о Земле, XIX, с.74-83, 6, 1966.

2. Мурадян К.М. Геодинамическая модель Малого Кавказа и ее

прикладное значение в металлогении Аракансской ССР. Тезисы докладов VII Всес. палеов. симпозиума "Проблемы палеовулканогенетических реконструкций и картирования в связи с вулканогенным рудообразованием". Часть I, Наукова думка, с. 122-123, Киев, 1981.

3. Муратли К.М. Петрологические критериирудоносности мезозойских вулканогенных комплексов Камшадинского рудного района. Тезисы докладов IV Рег. петр.сов. по Кавказу, Крыму и Карпатам, с. 94-95, г. Нахичевань, 1963.